

532.542 : 621.6.04

水平管内の砂水混合流れに関する実験*

(第2報、しゅう動流れについての一考察)

葛原定郎**

1. 緒 言

水平管路で粒体を水力輸送するとき、流速が大きいと粒は水に浮遊して送られるが、流速が小さくなると粒は管の下部に集中し、管底をしゅう動しながら送られ、さらに流速が小さくなると、粒はしだいに管底に沈でんたい積するようになる。同様のことが、空気による粉粒体輸送においても見られる⁽¹⁾。

筆者は先に、供試体として表1に示す粒径の砂れき***を用いて首題の実験を行ない、粒が浮遊して流れる流速の範囲において考察した結果、ほぼ3mmくらいの粒径を境にして、損失が増加することを第1報⁽²⁾として報告した。

続いて、砂れきが管の底部をしゅう動する流れについて改めて実験し、流れを解析するために、固液二相が二つの層を形成して流れる場合の損失を表わす計算式を導き、計算値と実測値を比較した。また、写真によって流れを観察した。

2. 記 号

図4を参照して、第1報に記したもののはかに次の記号を使用する。添字のmは水と砂れきを混合したもの、wは水、sは砂れき、wsは水と砂れきの境界面についての値であることを示す。

A: 供試管断面積

 A_w, A_s : 水および砂れきの占める面積 D_s : 直径上のしゅう動層の厚さ p_w, p_s : 浸れぶち p_{ws} : 水と砂れきの境界長さ θ : 砂れき層が管中心に対して張る角 p_1, p_2 : 測圧点I, IIにおける圧力 τ_w, τ_{ws} : 表面せん断応力 f_w, f_{ws} : 表面摩擦係数 μ : 砂れきと管壁との運動摩擦係数

* 昭和39年3月18日 東海支部第13期総会講演会において講演、原稿受付 昭和39年6月10日。

** 正員、三重大学農学部(津市上浜町)。

*** 第1報脚注参照。

 V_w, V_s, V_m : 吐出し容積 γ_w, γ_s : 比重量 p_0 : 静止時の砂れきの間げき率 p : しゅう動時の砂れきの間げき率 ϕ, κ : 係数 R_s : レイノルズ数 r : 相関係数 Δh_{mm} : 損失水頭の実測値 Δh_{mc} : 損失水頭の計算値

3. 実験方法および結果

3.1 供試砂れき 供試砂れきの粒径および特性については、第1報に詳しく記してあるが、本報において計算に必要な間げき率を付け加えて、再び表1に示す。

表1 供試砂れき

No.	種類	粒径 d_s mm	平均径 d_{sm} mm	比重 S	沈降速度 v_t cm/s	間げき率 p_0
1	海岸砂	0.29~0.59	0.44	2.67	7.2	0.441
2	"	0.84~1.19	1.02	2.64	12.4	0.454
3	川砂	1.90~2.46	2.18	2.63	21.9	0.456
4	川れき	2.46~4.04	3.25	2.64	29.8	0.423
5	"	4.04~5.16	4.60	2.64	31.3	0.481
平均	—	—	—	2.64	—	0.450

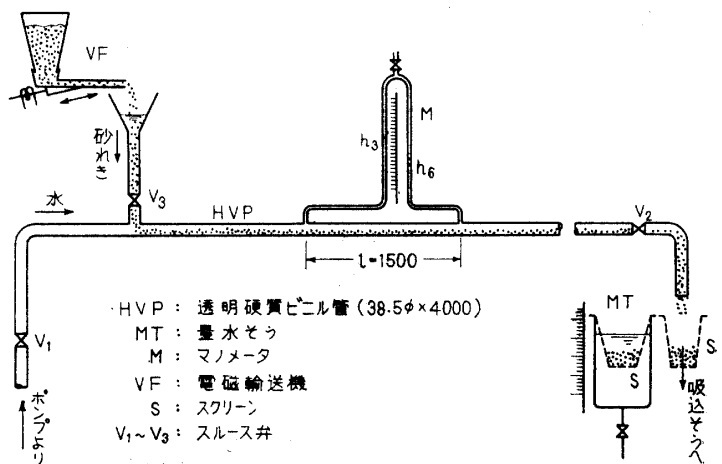


図1 実験装置

3・2 装置および実験方法 実験装置も第1報図5に示したものと大差ないが、本実験の場合には管内流速が小さいためにポンプの吐出し側に新たに砂れきの供給口を設け、電磁輸送機を使って、任意の一定量を連続的に供給するようにした。図1に装置の要部を示す。

損失水頭を測定する部分の水平管は、内径38.5φの透明硬質ビニル管で、その特性も第1報に述べたとおりである。

完全なしゅう動流れにおける損失を調べるために、流れは、しゅう動層の上面が著しく波をうつたり、底

部に部分的なたい積を生じたりすることなく、水と砂れきが明らかに二つの層に分かれて流動するように、弁 V_1, V_2 で流速を調節した。

実験における平均流速はほぼ0.9~2.1m/sで、重量混合比はほとんどが15%までであった。また、水温は試料No.1, 2については平均約29°C($\nu=0.0106\text{ cm}^2/\text{s}$)、No.3~5では約20°C($\nu=0.0101\text{ cm}^2/\text{s}$)であった。圧力水頭の測定は第1報図5の圧力タップ③と⑤の間で行ない、 $l=1.5\text{ m}$ であった。

3・3 実験結果 図2にシルエットとして撮影したしゅう動流れの写真を示す。また第1報と同じように、混合流れの平均流速に対する損失水頭を、粒径別と混合比別にして図3に示す。図には実験時の二つの平均水温において、平均流速と同じ流速で水だけが流れた場合の供試滑管に対する損失が、実線と破線で記入されている。

損失は粒径と混合比によって変るので、図の(I)だけから粒径の影響を、また、(II)だけから混合比の影響を直ちに知ることはむずかしいが、(II)から、混合比が増すことによって損失が増すことがうかがわれる。

このような流れを次のように解析し考察してみよう。

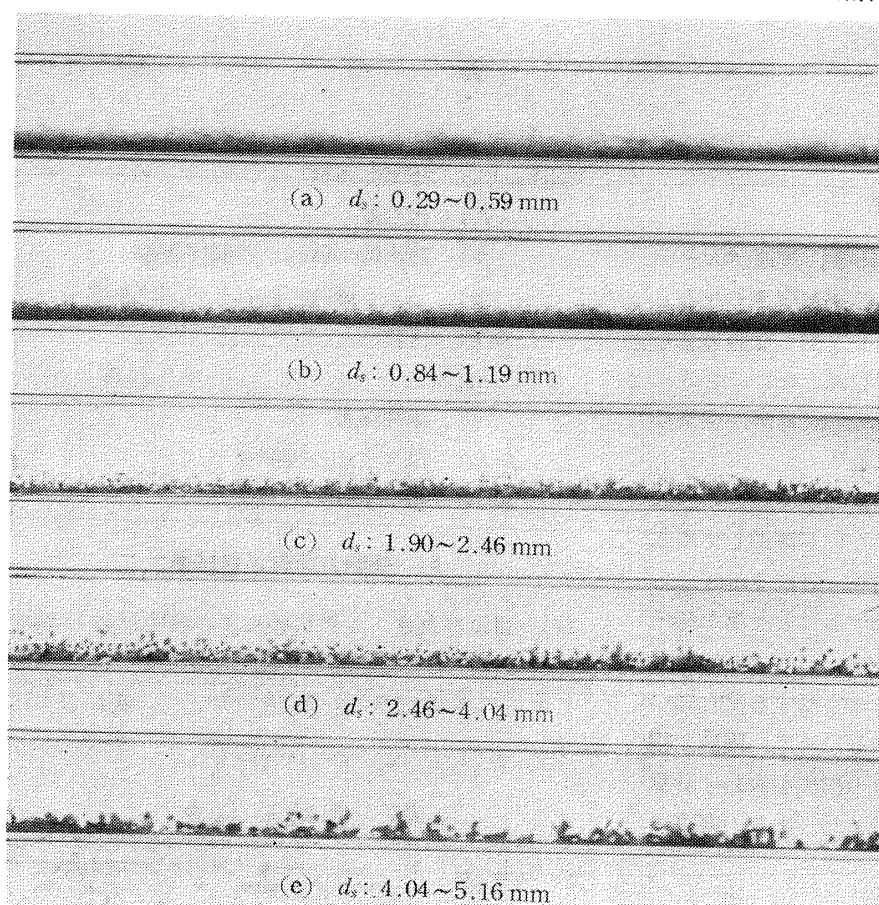


図2 しゅう動流れ

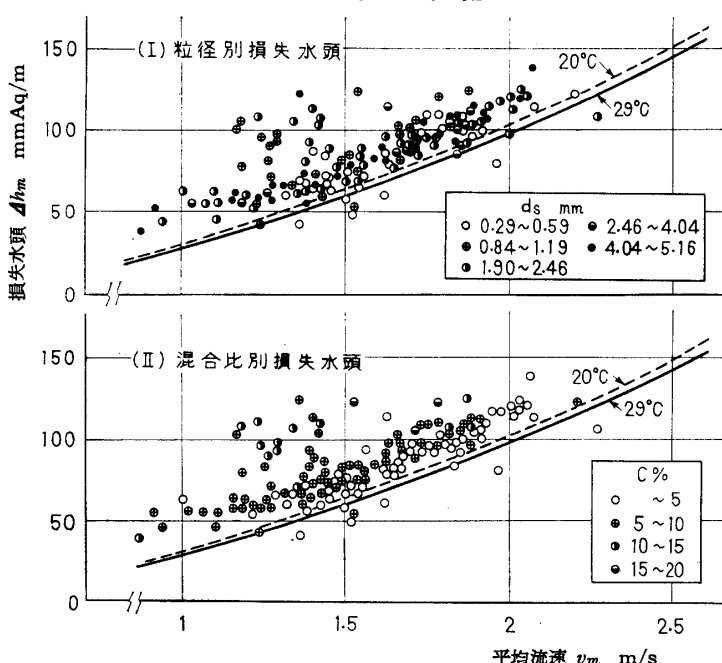


図3 平均流速と損失水頭

4. 考察のための計算式

しゅう動流れにおいては、管路の損失は管壁と砂れきの摩擦による損失と、水による管摩擦損失の二つから成り立つとの考え方から、一つの計算式を導いて計算し実測値と比較してみる。

4.1 計算式 図4に示すように、砂れき層が乱れることなく、水の部分とはっきりした境界を作つて整然としゅう動する場合を考える。また、管内の流速分布は断面IIに示すようになるであろうが、これを断面Iに示すような平均流速に置換えて計算を進めることにする。なお、しゅう動層内の水は砂れきと一体になつて流動するものとする。

砂れきの層が管中心に対して張る角を θ とすれば、次の関係がある。

$$A = \pi D^2 / 4 \quad (1)$$

$$A_s = (\theta - \sin \theta) D^2 / 8 \quad (2)$$

$$A_w = (2\pi - \theta + \sin \theta) D^2 / 8 \quad (3)$$

$$D_s = (1 - \cos \theta / 2) D / 2 \quad (4)$$

$$p_s = \theta D / 2 \quad (5)$$

$$p_w = (\pi - \theta / 2) D \quad (6)$$

$$p_{ws} = (\sin \theta / 2) D \quad (7)$$

さらに、あとの計算*のために、次の六つの比を定める。

$$\xi_D = D_s / D = (1 - \cos \theta / 2) / 2 \quad (8)$$

$$\xi_{A_1} = A_w / A = (2\pi - \theta + \sin \theta) / 2\pi \quad (9)$$

$$\xi_{A_2} = A_s / A = (\theta - \sin \theta) / 2\pi \quad (10)$$

$$\xi_p = p_{ws} / p_w = (\sin \theta / 2) / (\pi - \theta / 2) \quad (11)$$

$$m_1 = A / p_w = \pi D / 4(\pi - \theta / 2) = K_1 D \quad (12)$$

$$m_2 = A_w / p_w = (2\pi - \theta + \sin \theta) D \\ + 8(\pi - \theta / 2) = K_2 D \quad (13)$$

図5に θ に対するこれらの値の変化を示す。

図4の測圧点I-II間ににおいて、水だけの部分 A_w のつりあいを考えると

$$A_w(p_1 - p_2) = \tau_w p_w l + \tau_{ws} p_{ws} l \quad (14)$$

しゅう動層 A_s では、層に働く力が層と管の間の摩擦力とつりあうものと考えれば

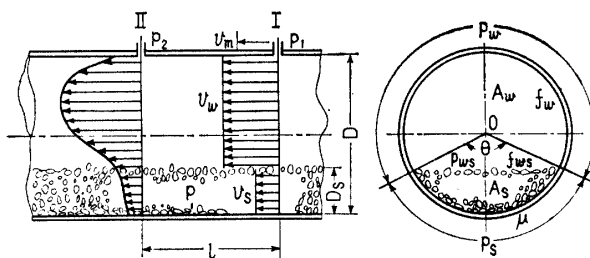


図4 しゅう動流れ

* 第3報において使用するものも含む。

$$A_s(p_1 - p_2) + \tau_{ws} p_{ws} l \\ = A_s l (1-p) \gamma_w (S-1) \mu \quad (15)$$

式(14), (15)を辺々加えると

$$(A_w + A_s)(p_1 - p_2) \\ = \tau_w p_w l + A_s l (1-p) \gamma_w (S-1) \mu \quad (16)$$

ここで

$$\tau_w = f_w \gamma_w v_w^2 / 2g \quad (17)$$

$$f_w = \lambda_w / 4 \quad (18)$$

と置き、かつ、

$$A = A_w + A_s \quad (19)$$

$$\Delta h_m = \frac{1}{l} \frac{p_1 - p_2}{\gamma_w} \quad (20)$$

と置くと式(16)は

$$\Delta h_m = \frac{p_w}{4A} \lambda_w \frac{v_w^2}{2g} + \frac{A_s}{A} (1-p) (S-1) \mu \quad (21)$$

実験では水と砂れきの吐出し量から、混合流れの平均流速 v_m および重量混合比 C を求めるから、式(21)の中にこれらの値がはいってくるようにするために、次の計算を行なう。

$$W_s = A_s v_s (1-p) \gamma_s \quad (22)$$

$$W_w = (A_w v_w + A_s v_s p) \gamma_w \quad (23)$$

式(22)から v_s を求めて式(23)に代入すると

$$v_s = \frac{1}{A_s} \frac{W_s}{\gamma_s} \frac{1}{1-p} \quad (24)$$

$$v_w = \frac{1}{A_w} \left(\frac{W_w}{\gamma_w} - A_s v_s p \right) = \frac{1}{A_w} \left(\frac{W_w}{\gamma_w} - \frac{W_s}{\gamma_s} \frac{p}{1-p} \right) \\ = \frac{1}{A_w} \frac{W_w}{\gamma_w} \left(1 - \frac{C}{S} \frac{p}{1-p} \right) \quad (25)$$

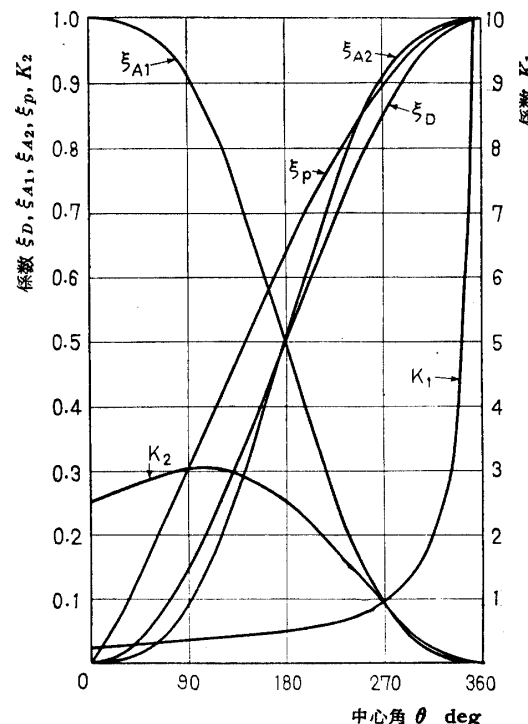


図5 θ と式(8)～(13)の関係

ここで

一方, v_m については

式(25), (28)から

$$v_w = \frac{A}{A_w} \frac{1 - Cp/S(1-p)}{1 + C/S} v_m$$

$$= \frac{A}{A_w} \frac{S - C\phi}{S + C} v_m \quad \dots \dots \dots \quad (29)$$

ただし、

式(21)に式(29)を代入し,かつ,式(9),(10),(12)を使うと

$$\begin{aligned} \Delta h_m &= \frac{p_w}{4A} \lambda_w \left(\frac{A}{A_w} \right)^2 \left(\frac{S - C\phi}{S + C} \right)^2 \frac{v_m^2}{2g} + \frac{A_s}{A} (1-p)(S-1)\mu \\ &= \frac{\lambda_w}{4K_1} \left(\frac{1}{\xi_{A_1}} \right)^2 \left(\frac{S - C\phi}{S + C} \right)^2 \frac{1}{D} \frac{v_m^2}{2g} \\ &\quad + \xi_{A_2} (1-p)(S-1)\mu \end{aligned} \quad \dots \dots \dots \quad (31)$$

式(31)は水と粒が二つの層を形成して平均流速 v_m ,

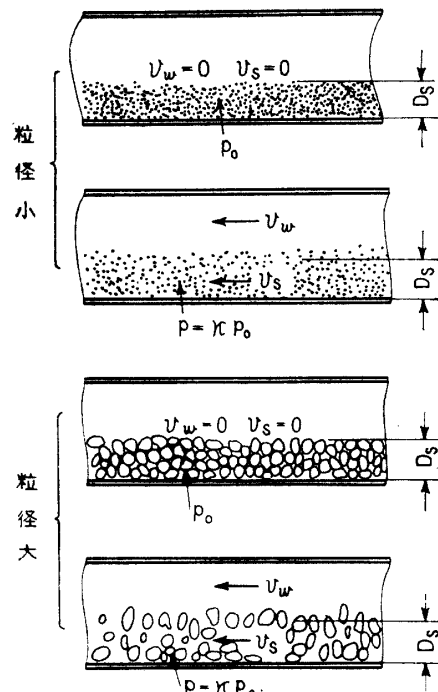


図6 間 げ 率

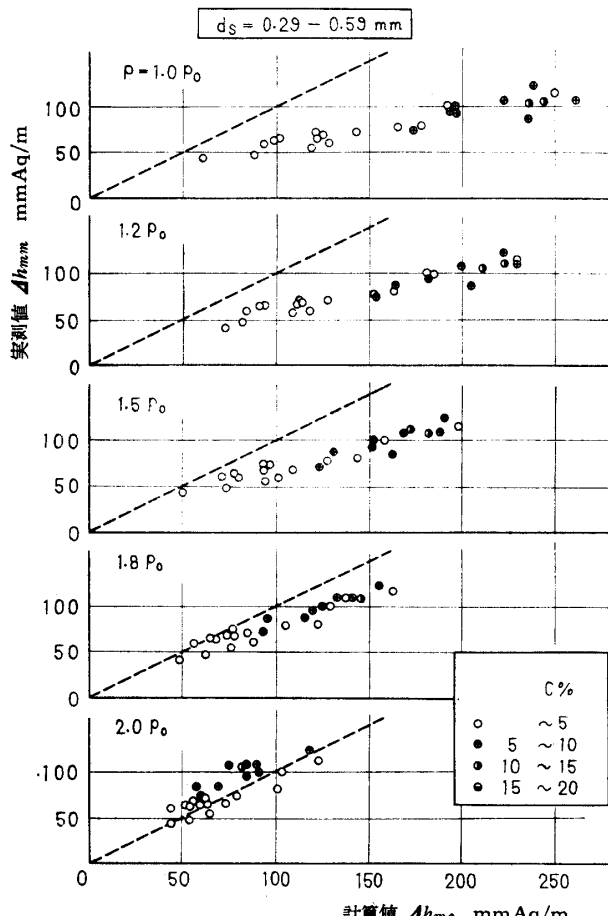


図7 計算値と実測値(1)

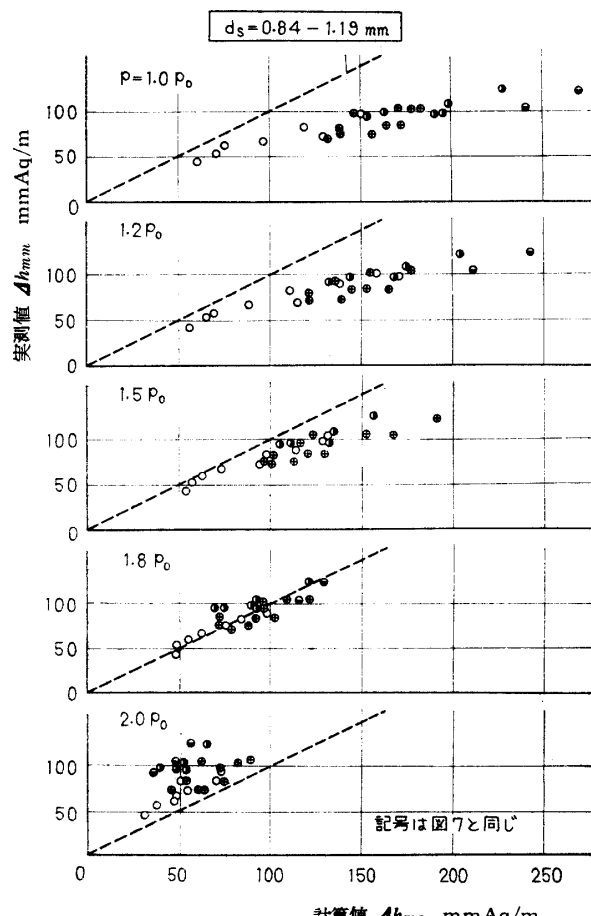


図8 計算値と実測値(2)

項の摩擦項は0となる.

4・2 計算 式(31)の計算は次のように進める.

まず、3・2 節に述べた方法で、表 1 の粒径別に種々の
しゅう動層の厚さ D_s で流したときの損失水頭 Δh_m 、
平均流速 v_m 、重量混合比 C を求め、次に、図 5 を使
って式 (8) の ξ_D に対する $\xi_{A_1}, \xi_{A_2}, K_1$ を θ を媒介
にして求める。

λ_w については、水の部分の水力水深 m_2 と平均流速 v_w に対する R_e 数を計算し、Moody の線図⁽³⁾から、滑管に対する摩擦損失係数として求めることにする。

第2項の摩擦係数 μ は正確にはつかみ得ないが、しゅう動層の底部は管壁の上をすべている場合が多いので、筆者が先に求めた水中における砂れきと滑管の間の運動摩擦係数のうちのすべり摩擦係数 $\mu = 0.31^{(4)}$ を用いることにする。

5. 考察

しゅう動層は図2の写真に示すように、小さい粒径(砂)では層の内部でも粒が容易に浮揚し、大きい粒径(れき)では粒と粒が衝突したり、ころがったりして、層内に粗密が生じる。式(31)中の ρ はしゅう動時の間げき率であって、これは実測することができないの

で、図 6 に示すように流速 0 の状態で粒がたい積したときの間げき率 p_0 の κ 倍であるとして

と表わし、 $\kappa = 1.0, 1.2, 1.5, 1.8, 2.0$ の五つの場合について式(31)から損失を計算し、実測値と比較することにする。 p_0 は表 1 に示すように、供試粒については平均 0.45 であって、 $p < 1$ であるから、 $\kappa p_0 < 1$ 、 $\kappa < 2.22$ である。

以上のようにして求めた計算結果を、横軸に計算値 Δh_{mc} 、縦軸に実測値 Δh_{mm} をとって粒径別に示したのが図 7~11 である。破線は $\Delta h_{mm} = \Delta h_{mc}$ を表わす直線である。

これらの図を見ると、五つの粒群ともに p が小さいときには計算値のほうが大きく、 p が大きくなると実測値のほうが大きくなり、その中間に両者が最もよく合う所があることがわかる。両者の偏差が最も小さくなるときの間げき率を求めるために、両者の相関係数 r を求めてみると表 2 のようになる。この結果を 1 mm 方眼紙にプロットし、かつ図 7~11 を参照して間げき率の変化に対する相関係数の変化を曲線で表わすと図 12 を得、図 12 から相関係数の最大値とそれに対する間げき率を求めると、表 2 の最右端に示したよ

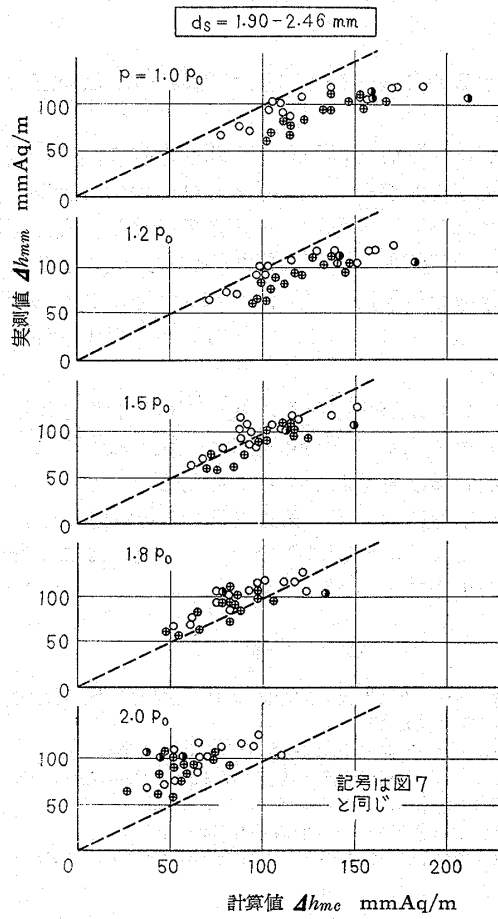


図9 計算値と実測値(3)

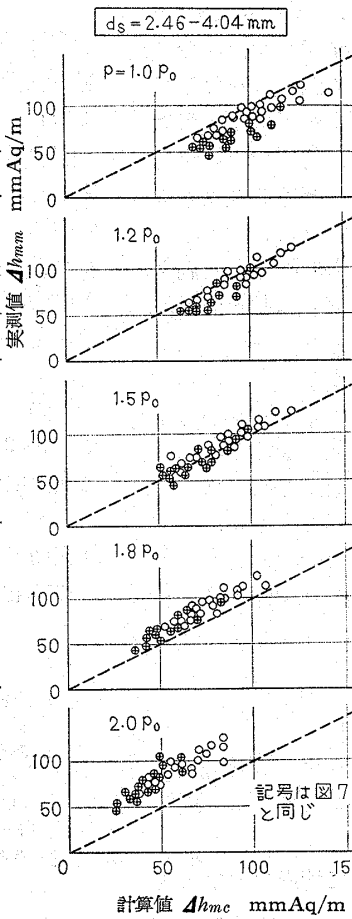


図 10 計算値と実測値(4)

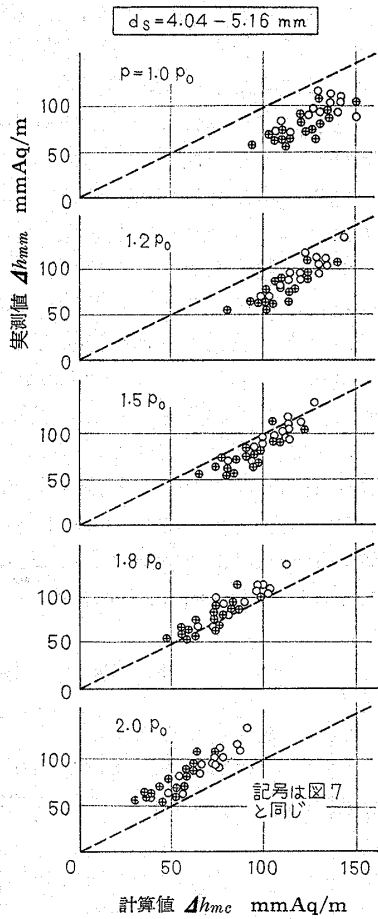


図 11 計算値と実測値(5)

表2 相関係数の計算結果

No.	d_s mm	$p = \kappa p_0$					r_{\max}	p
		1.0 p_0	1.2 p_0	1.5 p_0	1.8 p_0	2.0 p_0		
1	0.29~0.59	0.93	0.94	0.96	0.96	0.83	0.97	0.83
2	0.84~1.19	91	90	92	87	38	0.93	0.74
3	1.90~2.46	73	79	84	76	66	0.85	0.72
4	2.46~4.04	86	93	92	98	90	0.98	0.77
5	4.04~5.16	77	85	89	91	93	0.93	0.86

うな値を得る。

図13はこの結果を粒径を横軸にとって示したもので、No.1からNo.3の粒径では間げき率は小さくなるが、No.4からNo.5にかけて再び大きくなることがわかる。既述のように、No.1のように砂と呼ばれる細かい粒径では、しゅう動層の内部においても粒が浮揚して間げき率が大きくなるが、粒径が大きくなつて管底部に集中するようになると間げき率は減ってくる。しかし、さらに粒径が大きくなると、層をなして平滑にしゅう動することがむずかしくなるために、間げき率は再び大きくなるといえる。

以上の結果から、式(31)を使用する際に、粒径によって表2または図13に示すような間げき率を使用すれば、85~98%の相関で損失水頭を計算することができる。

粒と管壁の間の摩擦係数としては4・2節に述べたように $\mu=0.31$ を用いたが、この値は粒径が約1~4.6mmの単粒を水をみたした滑管内ですべらせた場合について求めたもので、本実験のように粒が層をなしてしゅう動する場合には、最下層の粒は粒径によっては跳躍や転動を行なうものもあるので、特に粒径の小さい丸みを帯びた粒では、管壁との間の摩擦係数はもう少し小さくみなければならないかも知れない。

なお、粒と水を二つの層に分けて完全にしゅう動させるためには、おのづから層の厚さ D_s に制限が加わる。小さい粒径では水に浮揚しやすいから D_s をある程度大きくすることができるが、あまり大きくなると層の上面が波をうって水との境界がはっきりしなくなる。また、大きい粒径では D_s が大きくなると下部の粒が上部の粒のために円滑にすべらなくなり、部分的に積や脈動を生ずるので D_s は小さくとどまる。本実験の場合には、各実験回数の ξ_D の平均値は、試料No.1,2では約0.33, No.3~5では約0.23であった。

6. 結論

以上の結果をまとめると

(1) 供試砂れきが管底をしゅう動する場合の損失水頭を測定し、同時に粒の流動状態を観察した(図2, 3)。

(2) 粒と水が二つの層に分かれて管内を異なる速

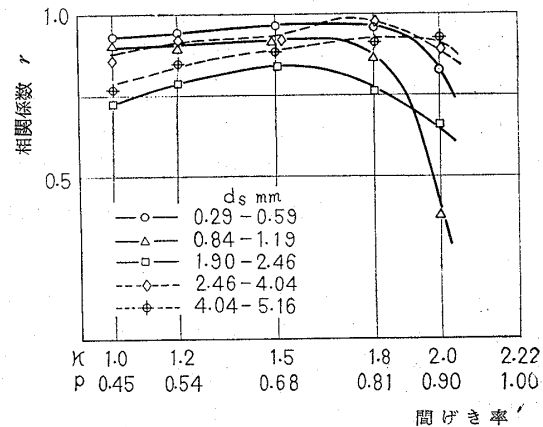


図12 間げき率と相関係数

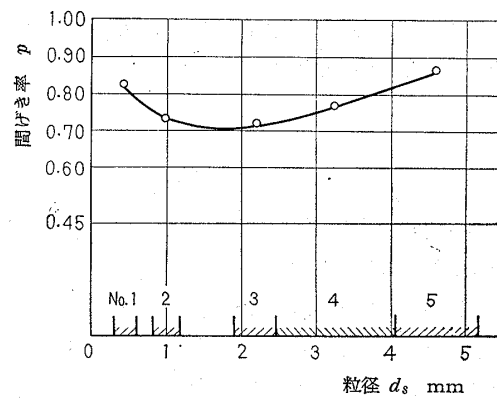


図13 相関係数が最大になるときの間げき率

度で流動する場合の、損失を表わす計算式を導いた[式(31)]。

(3) しゅう動層内の砂れきの間げき率は、静止状態のそれよりも大きいことが考えられるので、計算式の中に含まれる間げき率の値を変えて計算し、実測値と比較し、計算値と実測値の相関係数が最大になるときの間げき率を粒径別に求めた(図13)。逆にこの間げき率を用いることによって、式(31)から損失水頭が計算できる。

(4) 計算および観察から、試料No.3を中心にして、1~3mmくらいの粒径のものが、粒の最もつまつた典型的なしゅう動流れをするといえる。

最後に、本報においては編集理事のご指摘により、講演前刷⁽⁵⁾における考察の部分を訂正した。ここに記して謝意を表する。

文 献

- (1) 上滝・ほか4名、機械学会第40期通常総会講演会前刷集、No.86、(昭38-4)、129。
- (2) 葛原、機械学会論文集、29-204(昭38-8)、1263。
- (3) たとえば F. Herning, *Stoffströme in Rohrleitungen*, (1961), 付図I, VDI-Verlag, Düsseldorf.
- (4) 葛原、機械学会論文集、30-213(昭39-5)、594。
- (5) 葛原、機械学会東海支部第13期総会講演会前刷集、(昭39-3)、5。